

УДК 537.87

## ИЗЛУЧЕНИЕ ЗАРЯДА, ВРАЩАЮЩЕГОСЯ ВОКРУГ ИДЕАЛЬНО ПРОВОДЯЩЕГО ЦИЛИНДРА

А.А. СААРЯН<sup>1,2</sup>, А.С. КОТАНДЖЯН<sup>1\*</sup>, Т.С. ВАРДАНЯН<sup>3</sup>

<sup>1</sup>Ереванский государственный университет, Ереван, Армения

<sup>2</sup>Институт прикладных проблем физики НАН РА, Ереван, Армения

<sup>3</sup>Институт синхротронных исследований, Ереван, Армения

\*e-mail: anna.kotanjyan@ysu.am

(Поступила в редакцию 24 февраля 2017 г.)

Исследовано излучение заряда, равномерно вращающегося вокруг проводящего цилиндра, погруженного в однородную среду. Получены выражения для электрического и магнитного полей, а также для поверхностных зарядов и токов, индуцированных исходным зарядом на поверхности цилиндра. Выведена формула для спектрально-углового распределения интенсивности излучения. Представлены результаты численного анализа.

### 1. Введение

Важность исследований воздействия различных факторов на интенсивность синхротронного излучения обусловлена его широким применением в различных областях науки и техники. Излучение заряда, вращающегося по окружности в однородной диэлектрической среде, исследовалось еще в середине прошлого века [1] (см. также [2–7]). В частности, было показано, что при выполнении условия Черенкова частотно-угловое распределение излучения может существенно отличаться от соответствующих характеристик для излучения в вакууме.

Наличие границ раздела сред является дополнительным механизмом управления параметрами синхротронного излучения. Точно решаемые модели со сферически- и цилиндрически-симметричными границами рассматривались в работах [8–23]. В задаче с погруженным в однородную среду диэлектрическим цилиндром, при определенных условиях на скорость излучающего заряда и диэлектрическую проницаемость цилиндра, в угловом распределении интенсивности излучения на заданной гармонике появляются сильно выраженные пики. Пики присутствуют как в случае вращения вокруг цилиндра, так и внутри него. Синхротронное излучение заряда, вращающегося внутри цилиндрического вол-

новода с диэлектрическим наполнением, рассматривалось в работе [24]. Соответствующие результаты для движения вдоль спиральной траектории, соосной с волноводом, приведены в работе [25].

Целью настоящей работы было исследование излучения заряда, вращающегося вокруг проводящего цилиндра, погруженного в однородную среду.

## 2. Электромагнитное поле

Рассмотрим точечный заряд  $q$ , равномерно вращающийся по круговой траектории с радиусом  $r_q$  и скоростью  $v$  вокруг идеально проводящего цилиндра радиусом  $r_c$  ( $r_c < r_q$ ) в плоскости, перпендикулярной к оси цилиндра. Для общности предполагаем, что цилиндр погружен в среду с диэлектрической проницаемостью  $\varepsilon$ . Исходя из симметрии задачи, воспользуемся цилиндрической системой координат  $(r, \varphi, z)$  с осью  $z$ , направленной вдоль оси цилиндра. Для цилиндрических координат частицы имеем  $(r_q, \omega_0 t, 0)$ , где  $\omega_0 = v / r_q$  – угловая скорость вращения. Векторный потенциал электромагнитного поля вне цилиндра получается из соответствующего результата для диэлектрического цилиндра с диэлектрической проницаемостью  $\varepsilon_c$  [10, 15] предельным переходом  $\varepsilon_c \rightarrow \infty$ . Для  $l$ -ой компоненты векторного потенциала ( $F = A$ ), напряженностей электрического ( $F = E$ ) и магнитного ( $F = H$ ) полей имеем Фурье-разложение

$$F_l(t, r, \varphi, z) = \sum_{n=-\infty}^{+\infty} e^{in(\varphi - \omega_0 t)} \int_{-\infty}^{+\infty} dk_z e^{ik_z z} F_{nl}(k_z), \quad (1)$$

где  $l = 1, 2, 3$  соответствуют  $(r, \varphi, z)$  компонентам. В лоренцовой калибровке Фурье-компоненты векторного потенциала можно представить в виде

$$A_{nl}(k_z) = -\frac{vq}{4ci^{l-1}} \sum_{\alpha=\pm 1} \alpha^l \left[ J_{n+\alpha}(\lambda r_c) H_{n+\alpha}(\lambda r) - \frac{H_{n+\alpha}(\lambda r_q)}{H_{n+\alpha}(\lambda r_c)} J_{n+\alpha}(\lambda r_c) H_{n+\alpha}(\lambda r) \right], \quad (2)$$

где  $l = 1, 2$  и  $A_{n3}(k_z) = 0$ . Здесь  $r_c = \min(r_q, r)$ ,  $r_s = \max(r_q, r)$ ,  $\lambda = \sqrt{n^2 \omega_0^2 \varepsilon / c^2 - k_z^2}$ , а  $J_\nu(x)$  и  $H_\nu(x) \equiv H_\nu^{(1)}(x)$  – соответственно функции Бесселя и Ганкеля первого рода.

Исходя из (2), в области  $r > r_q$  для Фурье-компонент магнитного поля с  $n \geq 0$  находим

$$H_{nl}(k_z) = \frac{vqk_z}{4ci^{l-1}} \sum_{\alpha=\pm 1} \alpha^{l-1} B_{n+\alpha} H_{n+\alpha}(\lambda r), \quad l = 1, 2, \quad (3)$$

$$H_{n3}(k_z) = \frac{ivq\lambda}{4c} \sum_{\alpha=\pm 1} \alpha B_{n+\alpha} H_n(\lambda r),$$

где введено обозначение

$$B_{n+\alpha} = J_{n+\alpha}(\lambda r_q) - \frac{J_{n+\alpha}(\lambda r_q)}{J_{n+\alpha}(\lambda r_c)} J_{n+\alpha}(\lambda r_c). \quad (4)$$

Для компонент с  $n < 0$  имеем  $H_{nl}(k_z) = H_{-nl}^*(-k_z)$ . При  $n \neq 0$  с помощью известного соотношения между векторами  $\mathbf{H}$  и  $\mathbf{E}$  для Фурье-компонент электрического поля получим

$$E_{nl}(k_z) = \frac{vq}{8i'\varepsilon n \omega_0} \sum_{\alpha=\pm 1} \alpha^l \left[ (n^2 \omega_0^2 \varepsilon / c^2) B_{n+\alpha} - \lambda^2 B_{n-\alpha}(\lambda r) \right] H_{n+\alpha}(\lambda r), \quad l=1,2, \quad (5)$$

$$E_{n3}(k_z) = \frac{vq k_z \lambda}{4\varepsilon n \omega_0} \sum_{\alpha=\pm 1} B_{n+\alpha} H_n(\lambda r).$$

Выражения (3) и (5) для электрического и магнитного полей можно представить в виде

$$F_{nl}(k_z) = F_{nl}^{(0)}(k_z) + F_{nl}^{(c)}(k_z), \quad (6)$$

где  $F_{nl}^{(0)}(k_z)$  – соответствующая Фурье-компонента в однородной среде при отсутствии цилиндра, а  $F_{nl}^{(c)}(k_z)$  обусловлена наличием проводящего цилиндра. Выражения для  $F_{nl}^{(0)}(k_z)$  получаются из формул (3) и (5) заменой  $B_{n+\alpha} \rightarrow J_{n+\alpha}(\lambda r_q)$  (первое слагаемое в правой части (4)). Вклады, индуцированные цилиндром, обусловлены вторым слагаемым в правой части (4). Формулы для  $F_{nl}^{(c)}(k_z)$  получаются из формул (3) и (5) заменой  $B_{n+\alpha} \rightarrow -J_{n+\alpha}(\lambda r_c) H_{n+\alpha}(\lambda r_q) / H_{n+\alpha}(\lambda r_c)$ . В области  $r_c \leq r \leq r_q$  выражения для  $F_{nl}^{(c)}(k_z)$  не меняются, а в выражениях  $F_{nl}^{(0)}(k_z)$  следует произвести перестановку  $J \rightleftharpoons H$  функций Бесселя и Ганкеля.

Если заряд вращается близко к поверхности цилиндра ( $r_q / r_c - 1 \ll 1$ ), то для  $B_{n+\alpha}$  в ведущем порядке имеем

$$B_{n+\alpha} \approx -\frac{2i}{\pi \lambda r_c} \frac{r_q / r_c - 1}{H_{n+\alpha}(\lambda r_c)}. \quad (7)$$

Отсюда следует, что поля в области  $r > r_q$  стремятся к нулю в пределе  $r_q \rightarrow r_c$ . В этом пределе поле заряда компенсируется его изображением на поверхности цилиндра.

Имея электрическое поле в области  $r_c \leq r \leq r_q$ , можно найти плотность заряда  $\sigma(\varphi, z, t)$ , индуцированного на поверхности цилиндра. Для соответствующего Фурье-образа  $\sigma_n(k_z)$ , определенного согласно

$$\sigma(\varphi, z, t) = \sum_{n=-\infty}^{+\infty} e^{in(\varphi - \omega_0 t)} \int_{-\infty}^{+\infty} dk_z e^{ik_z z} \sigma_n(k_z), \quad (8)$$

имеем  $\sigma_n = \varepsilon E_{n1, r=r_c}(k_z) / (4\pi)$ . Используя выражение для радиальной компоненты электрического поля, находим

$$\sigma_n(k_z) = -\frac{qr_q}{8\pi^2 r_c^2} \sum_{\alpha=\pm 1} \frac{H_{n+\alpha}(\lambda r_q)}{H_{n+\alpha}(\lambda r_c)}. \quad (9)$$

Подставляя это выражение в (8) и интегрируя по  $\varphi$  и  $z$ , можно показать, что

$$r_c \int_0^{2\pi} d\varphi \int_{-\infty}^{+\infty} dz \sigma(\varphi, z, t) = -q, \quad (10)$$

т. е. полный заряд, индуцированный на поверхности цилиндра, равен заряду частицы с обратным знаком. В пределе  $r_q \rightarrow r_c$  для поверхностного заряда получим  $\sigma(\varphi, z, t)|_{r_q \rightarrow r_c} = -q\delta(\varphi - \omega_0 t)\delta(z) / r_c$ , где предположено, что  $0 \leq \varphi - \omega_0 t < 2\pi$ . Это выражение соответствует точечному заряду  $-q$ , расположенному на поверхности цилиндра.

Для плотности поверхностного тока, индуцированного на поверхности цилиндра, имеем  $\mathbf{j}_s = c[\mathbf{n} \times \mathbf{H}] / (4\pi)|_{r=r_c}$ , где  $\mathbf{n}$  – нормаль к поверхности цилиндра. Из выражений (3) следует, что  $j_{s1} = j_{s3} = 0$ , и поэтому единственная ненулевая компонента соответствует азимутальному току с плотностью  $j_{s2} = -cH_3|_{r=r_c} / (4\pi)$ . Для Фурье-компоненты магнитного поля имеем

$$H_{n3}(k_z)|_{r=r_c} = \frac{vq}{2\pi c r_c} \sum_{\alpha=\pm 1} \frac{H_{n+\alpha}(\lambda r_q)}{H_{n+\alpha}(\lambda r_c)}. \quad (11)$$

Отсюда следует, что Фурье-компоненты поверхностного заряда и тока связаны стандартным соотношением  $j_{sn2}(k_z) = v'\sigma_n(k_z)$ , где  $v' = \omega_0 r_c = v r_c / r_q$  – скорость изображения заряда на поверхности цилиндра.

### 3. Интенсивность излучения

Поскольку движение заряда периодическое, то спектр излучения является дискретным, и для частоты излучения имеем  $\omega_n = n\omega_0$ , где  $n = 1, 2, 3, \dots$  – номер гармоники. На больших расстояниях от цилиндра угловое распределение интенсивности излучения на гармонике  $n$ , усредненное по периоду вращения, определяется выражением

$$\frac{dI_n}{d\Omega} = \frac{q^2 n^2 \omega_0^2}{8\pi\sqrt{\varepsilon}c} \beta^2 \left[ |B_{n+1} - B_{n-1}|^2 + |B_{n+1} + B_{n-1}|^2 \cos^2 \theta \right], \quad (12)$$

где  $\beta = v\sqrt{\varepsilon} / c$ ,  $d\Omega = \sin \theta d\theta d\varphi$  – элемент телесного угла,  $\theta$  – угол между осью цилиндра и направлением излучения, а  $k_z = (n\omega_0 / c)\sqrt{\varepsilon} \cos \theta$  – проекция волнового вектора на ось цилиндра. В выражениях для  $B_{n\pm 1}$  следует положить  $\lambda = (n\omega_0 / c)\sqrt{\varepsilon} \sin \theta$ . В частности, отсюда следует, что  $\lambda r_q = n\beta \sin \theta$ .

Рассмотрим некоторые предельные случаи. При отсутствии цилиндра

$B_{n+\alpha} = J_{n+\alpha}(\lambda r_q)$  и формула (12) сводится к соответствующему выражению для синхротронного излучения в однородной изотропной среде [1, 2]:

$$\frac{dI_n^{(0)}}{d\Omega} = \frac{q^2 n^2 \omega_0^2}{2\pi\sqrt{\varepsilon c}} \left[ \beta^2 J_n'^2(n\beta \sin \theta) + \cot^2 \theta J_n^2(n\beta \sin \theta) \right]. \quad (13)$$

Из асимптотического выражения (7) следует, что в пределе  $r_q \rightarrow r_c$  интенсивность излучения заряда, вращающегося вокруг проводящего цилиндра, стремится к нулю пропорционально  $(r_q / r_c - 1)^2$ . В этом пределе поле заряда компенсируется полем его изображения на поверхности цилиндра. При малых углах излучения  $\theta$  в ведущем порядке получим

$$\frac{dI_n^{(e)}}{d\Omega} \approx \left[ 1 - (r_c / r_q)^{2(n-1)} \right]^2 \frac{dI_n^{(0)}}{d\Omega}, \quad \frac{dI_n^{(0)}}{d\Omega} \approx \frac{q^2 \omega_0^2}{\pi\sqrt{\varepsilon c}} \frac{(n\beta / 2)^{2n}}{\Gamma^2(n)} \sin^{2(n-1)} \theta. \quad (14)$$

Для излучения в однородной среде ненулевой вклад в интенсивность излучения под углом  $\theta = 0$  дает только основная гармоника  $n = 1$ . В задаче же с проводящим цилиндром интенсивность излучения при  $\theta \rightarrow 0$  обращается в нуль для всех гармоник, включая  $n = 1$ .

Для оценки интенсивности излучения при больших значениях гармоники и при  $x < 1$  можно воспользоваться асимптотическими выражениями для функций Бесселя и Неймана

$$\begin{aligned} J_{n+\alpha}(nx) &\approx \frac{\eta_1^{1/2}(x)x^{-|\alpha|}}{\pi(1-x^2)^{1/4}} \left[ K_{1/3}(n\eta_1(x)) - \alpha\sqrt{1-x^2} K_{2/3}(n\eta_1(x)) \right], \\ Y_{n+\alpha}(nx) &\approx -\frac{\eta_1^{1/2}(x)x^{-|\alpha|}}{(1-x^2)^{1/4}} \left[ I_{1/3}^{(+)}(n\eta_1(x)) + \alpha\sqrt{1-x^2} I_{2/3}^{(+)}(n\eta_1(x)) \right]. \end{aligned} \quad (15)$$

Здесь,  $\alpha = 0, \pm 1$ ,  $I_\nu^{(+)}(u) = I_\nu(u) + I_{-\nu}(u)$ ,  $\eta_1(x) = \ln((1 + \sqrt{1-x^2}) / x) - \sqrt{1-x^2}$ , а  $K_\nu(u)$  и  $I_\nu(u)$  – модифицированные функции Бесселя. При  $x > 1$  соответствующие асимптотические формулы имеют вид

$$\begin{aligned} J_{n+\alpha}(nx) &\approx \frac{\eta_2^{1/2}(x)x^{-|\alpha|}}{\sqrt{3}(x^2-1)^{1/4}} \left[ J_{1/3}^{(+)}(n\eta_2(x)) + \alpha\sqrt{x^2-1} J_{2/3}^{(-)}(n\eta_2(x)) \right], \\ Y_{n+\alpha}(nx) &\approx \frac{\eta_2^{1/2}(x)x^{-|\alpha|}}{(x^2-1)^{1/4}} \left[ J_{1/3}^{(-)}(n\eta_2(x)) - \alpha\sqrt{x^2-1} J_{2/3}^{(+)}(n\eta_2(x)) \right], \end{aligned} \quad (16)$$

где  $J_\nu^{(\pm)}(u) = J_\nu(u) \pm J_{-\nu}(u)$  и  $\eta_2(x) = \sqrt{x^2-1} - \arccos(1/x)$ . Асимптотические выражения (15) и (16) получаются из равномерных асимптотических разложений для цилиндрических функций, приведенных в работе [25]. При этом используются выражения для функций Эйри и их производных с помощью цилиндрических функций порядка  $\pm 1/3$  и  $\pm 2/3$ . Заметим, что функция  $\eta_1(x)$  ( $\eta_2(x)$ )

монотонно убывает (возрастает) в области  $0 < x \leq 1$  ( $1 \leq x < \infty$ ) и  $\eta_1(1) = \eta_2(1) = 0$ . При  $|x-1| \ll 1$  имеем  $\eta_j(x) \approx 2^{3/2} |x-1|^{3/2} / 3$ . Асимптотические выражения для функции Ганкеля следуют из выражений (15) и (16).

При  $y = \beta \sin \theta < 1$  излучение заряда, вращающегося в однородной среде, в основном, сосредоточено на гармониках  $n \leq 1 / \eta_1(y)$ . При  $n \gg 1 / \eta_1(y)$  интенсивность излучения подавлена фактором  $\exp[-2n\eta_1(y)]$ . При условии  $y = \beta \sin \theta > 1$ , с помощью асимптотических выражений (16) получим

$$\frac{dI_n^{(0)}}{d\Omega} \approx \frac{q^2 n^2 \omega_0^2 \eta_2(y)}{6\pi c \sqrt{\varepsilon} \sin^2 \theta} \left[ (y^2 - 1)^{1/2} J_{2/3}^{(-)2}(n\eta_2(y)) + \cos^2 \theta \frac{J_{1/3}^{(+2)}(n\eta_2(y))}{(y^2 - 1)^{1/2}} \right]. \quad (17)$$

В этом случае интенсивность излучения увеличивается с ростом  $n$ . Однако при больших значениях  $n$  становится важной дисперсия диэлектрической проницаемости  $\varepsilon = \varepsilon(n\omega_0)$ , и рост интенсивности ограничен условием Черенкова  $v\sqrt{\varepsilon(n\omega_0)} > c$ .

Для заряда, вращающегося вокруг проводящего цилиндра, при условии  $y = \beta \sin \theta < 1$  эффекты, индуцированные цилиндром, в интенсивности излучения на гармониках  $n \gg 1 / \eta_1(y)$  по сравнению с  $dI_n^{(0)} / d\Omega$  подавлены фактором  $\exp(-2n[\eta_1(yr_c / r_q) - \eta_1(y)])$ . Для значений отношения  $r_c / r_q$ , близких к единице, для коэффициента относительного подавления получим

$$\exp[-2n(\eta_1(yr_c / r_q) - \eta_1(y))] \approx \exp[-4\pi\sqrt{\beta^{-2} - \sin^2 \theta}(r_q - r_c) / \lambda_r],$$

где  $\lambda_r$  – длина волны излучения. Для излучения в вакууме ( $\varepsilon = 1$ ) и для углов  $\theta$ , не слишком близких к  $\pi / 2$ , эффекты, индуцированные цилиндром, экспоненциально подавлены для длин волн  $\lambda_r > r_q - r_c$ . Для релятивистских частиц и для углов, близких к  $\pi / 2$ , имеем  $\beta^{-2} - \sin^2 \theta \approx \gamma^{-2} + (\theta - \pi / 2)^2$ , и вклад цилиндра в общую интенсивность излучения может быть существенным для длин волн, значительно меньших расстояний от цилиндра.

На рис.1 представлена спектрально-угловая плотность числа квантов на данной гармонике, излученных в течение одного периода вращения заряда в вакууме  $\varepsilon = 1$  (рис.1a) и в кварце  $\varepsilon = 3.75$  (рис.1b),

$$\frac{dN_n^{(c)}}{d\Omega} = \frac{T}{\hbar n \omega_0} \frac{dI_n^{(c)}}{d\Omega} \quad (25)$$

в зависимости от угла  $\theta$  (в радианах) для гармоники  $n = 25$  и для энергии электрона  $E_q = 2$  МэВ для значений отношения  $r_c / r_q = 0.95, 0.9$  и  $0.85$ . Пунктирные кривые соответствуют излучению в отсутствие проводящего цилиндра. Как видно из рис.1b, в случае излучения в среде число излученных квантов существенно больше по сравнению с излучением в вакууме. Это связано с тем, что в

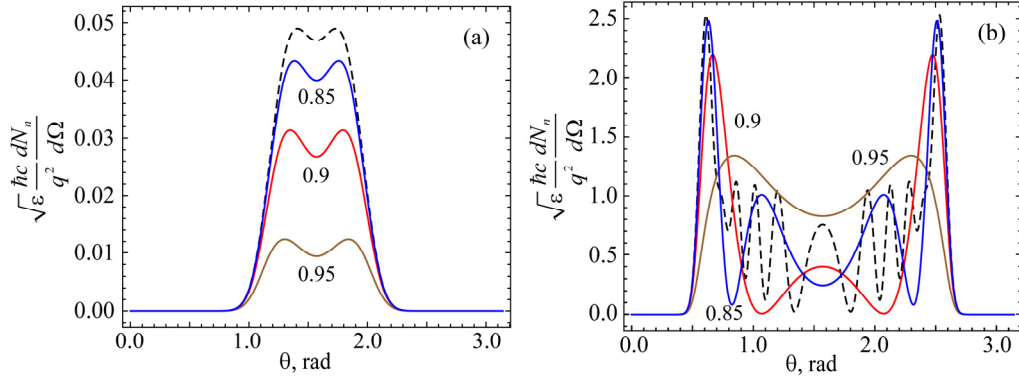


Рис.1. Угловая плотность числа излученных квантов для гармоники  $n = 25$  в зависимости от угла излучения для электрона с энергией 2 МэВ: (а) в вакууме, (б) в кварце с диэлектрической проницаемостью  $\epsilon = 3.75$ . Числа возле кривых соответствуют значениям отношения  $r_c / r_q$ .

дополнение к синхротронному имеется также черенковское излучение. Для случая вращения в среде излучение, в основном, сосредоточено в угловой области  $\pi/2 - \theta_c < \theta < \pi/2 + \theta_c$ , где  $\theta_c = \arccos(1/\beta)$ . Для параметров, соответствующих рис.1б, имеем  $\pi/2 - \theta_c \approx 0.56$ , а для левого пика  $\theta \approx 0.61$ .

Число осцилляций в интервале углов  $\pi/2 - \theta_c < \theta < \pi/2 + \theta_c$  возрастает с ростом  $n$ . Для случая излучения в вакууме число излученных квантов уменьшается с ростом  $r_c / r_q$ . Как уже было указано выше, интенсивность излучения обращается в нуль в пределе  $r_c / r_q \rightarrow 1$ .

Зависимость числа излученных квантов от номера гармоники представлена на рис.2 для электрона с энергией 2 и 5 МэВ, вращающегося в вакууме, и

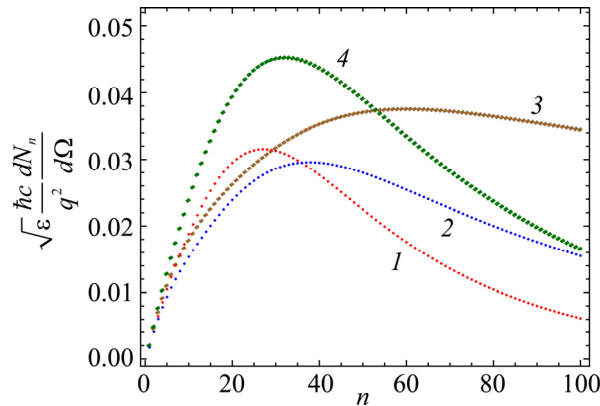


Рис.2. Число излученных квантов в зависимости от номера гармоники для излучения в вакууме для энергии электрона 2 МэВ (1 и 2) и 5 МэВ (3 и 4) и для углов излучения  $\theta$ , равных 1.35 (1),  $\pi/2$  (2 и 3) и 1.29 (4).

для углов излучения 1.35,  $\pi/2$  и 1.29. Численные расчеты проводились для значения  $r_c / r_q = 0.9$ .

Заметим, что для релятивистских электронов длина волны излучения на заданной гармонике  $n$  порядка  $2\pi r_q / n$ . Для гармоник  $\sim 10^2$  и для радиуса орбиты  $\sim 1$  см можно получить излучение в терагерцовой области частот. Для электрона, движущегося в однородном магнитном поле  $H_{\text{ext}}$ , радиус орбиты определяется выражением  $r_q \approx 1.7 \times 10^3 (\gamma / H_{\text{ext}})$  см, где  $H_{\text{ext}}$  измерено в гауссах и  $\gamma = 1 / \sqrt{1 - v^2 / c^2}$ . С помощью неодимовых магнитов можно получить магнитные поля  $\sim 10^4$  Гс. Для электрона с энергией 2 МэВ соответствующий радиус  $r_q \sim 1$  см.

Выше было рассмотрено излучение на больших расстояниях от цилиндра. Для реальных проводников будут излучаться также поверхностные волны (о поверхностных волнах в цилиндрических структурах см., например, [26–28]).

#### 4. Заключение

Исследовалось излучение заряда, вращающегося вокруг проводящего цилиндра. Определены напряженности электромагнитного поля, а также поверхностный заряд и ток, индуцированные на поверхности цилиндра. Выведена формула для частотно-углового распределения интенсивности излучения на больших расстояниях от цилиндра. Для случая заряда, вращающегося в вакууме, наличие цилиндра приводит к подавлению излучения по сравнению с обычным синхротронным излучением в вакууме. При стремлении радиуса орбиты вращения к радиусу цилиндра интенсивность излучения стремится к нулю. В этом пределе поле заряда компенсируется полем его изображения на поверхности цилиндра. Картина существенно меняется, если заряд вращается в среде и выполняется условие Черенкова. В этом случае интерференция синхротронного и черенковского излучений приводит к осцилляциям в угловом распределении интенсивности излучения. Излучение, в основном, сосредоточено в области углов  $\pi/2 - \theta_c < \theta < \pi/2 + \theta_c$  и интенсивность существенно превосходит соответствующую величину для случая вращения в вакууме.

#### ЛИТЕРАТУРА

1. **В.Н. Цытович.** Вестник МГУ, **11**, 27 (1951).
2. **К. Kitao.** Prog. Theor. Phys., **23**, 759 (1960).
3. **T. Erber, D. White, H.G. Latal.** Acta Phys. Austriaca, **45**, 29 (1976).
4. **J. Schwinger, W. Tsai, T. Erber.** Ann. Phys., **96**, 303 (1976).
5. **T. Erber, D. White, W. Tsai, H. Latal.** Ann. Phys., **102**, 405 (1976).
6. **T.M. Rynne, G.B. Baumgartner, T. Erber.** J. Appl. Phys., **49**, 2233 (1978).
7. **В.П. Зрелов.** Излучение Вавилова–Черенкова и его применение в физике высоких энергий. Москва. Атомиздат, 1968.



8. С.Р. Арзуманян, Л.Ш. Григорян, А.А. Саарян. Известия НАН Армении, Физика, **30**, 99 (1995).
9. С.Р. Арзуманян, Л.Ш. Григорян, А.А. Саарян, Х.В. Котанджян. Известия НАН Армении, Физика, **30**, 106 (1995).
10. Л.Ш. Григорян, А.С. Котанджян, А.А. Саарян. Известия НАН Армении, Физика, **30**, 239 (1995).
11. Л.Ш. Григорян, Г.Ф. Хачатрян, С.Р. Арзуманян. Известия НАН Армении, Физика, **33**, 267 (1998).
12. Л.Ш. Григорян, Г.Ф. Хачатрян, С.Р. Арзуманян. Известия НАН Армении, Физика, **37**, 327 (2002).
13. L.Sh. Grigoryan, H.F. Khachatryan, S.R. Arzumanyan, M.L. Grigoryan. Nucl. Instrum. Methods B, **252**, 50 (2006).
14. S.R. Arzumanyan, L.Sh. Grigoryan, H.F. Khachatryan, M.L. Grigoryan. Nucl. Instrum. Methods B, **266**, 3715 (2008).
15. А.С. Котанджян, Г.Ф. Хачатрян, А.В. Петросян, А.А. Саарян. Известия НАН Армении, Физика, **35**, 115 (2000).
16. А.С. Котанджян, А.А. Саарян. Известия НАН Армении, Физика, **37**, 135 (2002).
17. A.S. Kotanjyan, A.A. Saharian. Mod. Phys. Lett. A, **17**, 1323 (2002).
18. A.S. Kotanjyan. Nucl. Instrum. Methods B, **201**, 3 (2003).
19. А.А. Саарян, А.С. Котанджян. Известия НАН Армении, Физика, **38**, 288 (2003).
20. А.А. Saharian, A.S. Kotanjyan. Nucl. Instrum. Methods B, **226**, 351 (2004).
21. А.А. Saharian, A.S. Kotanjyan. J. Phys. A: Math. Gen., **38**, 4275 (2005).
22. А.А. Saharian, A.A. Kotanjyan, M.L. Grigoryan. J. Phys. A: Math. Theor., **40**, 1405 (2007).
23. А.А. Saharian, A.S. Kotanjyan. J. Phys. A: Math. Theor., **42**, 135402 (2009).
24. А.С. Котанджян, А.А. Саарян. Известия НАН Армении, Физика, **36**, 310 (2001).
25. М. Абрамовиц, И. Стиган. Справочник по специальным функциям. Москва, Наука, 1979.
26. V. Tekkozyan, A. Babajanyan, K. Nerkararyan. Opt. Comm., **305**, 190 (2013).
27. J. Polanco, R.M. Fitzgerald, A.A. Maradudin. Opt. Comm., **316**, 120 (2014).
28. I.A. Kotelnikov, G.V. Stupakov. Phys. Lett. A, **379**, 1187 (2015).

## RADIATION FROM A CHARGE ROTATING AROUND A PERFECTLY CONDUCTING CYLINDER

A.A. SAHARIAN, A.S. KOTANJYAN, T.S. VARDANYAN

The radiation from a charge uniformly rotating around a conducting cylinder immersed into a homogeneous medium are investigated. Expressions are provided for the electric and magnetic fields, for the surface charge, and current densities induced by the charge on the cylinder surface. A formula is derived for the spectral-angular distribution of the radiation intensity. The results of the numerical analysis are presented.